

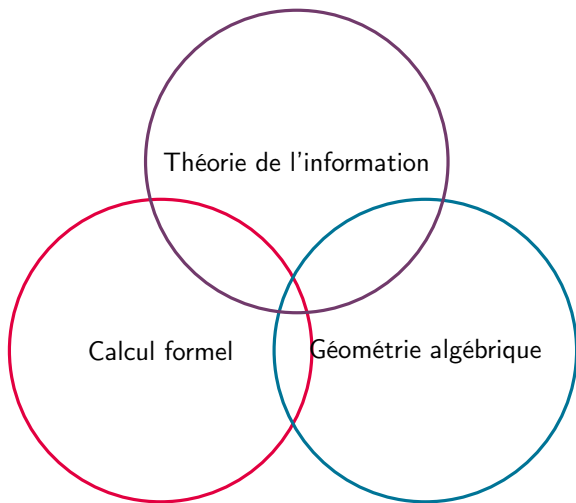
# *Codes géométriques : mise en œuvre et applications*

Elena Berardini

avec S. Abelard (Thales), A. Couvreur (Inria), G. Lecerf (LIX)



Journées de Théorie des Nombres et Cryptographie de Valenciennes  
2&3 novembre 2021



# *Sommaire*

*I. Codes correcteurs et codes géométriques : une introduction*

*II. Quelques applications récentes des codes AG*

*III. Calcul effectif d'espaces de Riemann–Roch*

## *Qu'est que c'est un code correcteur d'erreur ?*

Une méthode pour transmettre et stocker des données.

**Caractéristiques :** detection et correction des erreurs qui peuvent arriver lors de la transmission / le stockage

## Qu'est que c'est un code correcteur d'erreur ?

Une méthode pour transmettre et stocker des données.

**Caractéristiques :** détection et correction des erreurs qui peuvent arriver lors de la transmission / le stockage

Un  $\mathbb{F}_q$ -sous espace vectoriel de  $\mathbb{F}_q^n$  (codes linéaires).

**Trois paramètres :**

- ▶ **n**, la longueur
- ▶ **k**, la dimension
- ▶ **d**, la distance minimale

Taux de transmission:  $k/n$

Détecte jusqu'à  $d - 1$  erreurs

Corrige jusqu'à  $\lfloor \frac{d-1}{2} \rfloor$  erreurs

# Qu'est que c'est un code correcteur d'erreur ?

Une méthode pour transmettre et stocker des données.

**Caractéristiques :** détection et correction des erreurs qui peuvent arriver lors de la transmission / le stockage



Un  $\mathbb{F}_q$ -sous espace vectoriel de  $\mathbb{F}_q^n$  (codes linéaires).

**Trois paramètres :**

- ▶ **n**, la longueur
- ▶ **k**, la dimension
- ▶ **d**, la distance minimale

Taux de transmission:  $k/n$

Détecte jusqu'à  $d - 1$  erreurs

Corrige jusqu'à  $\lfloor \frac{d-1}{2} \rfloor$  erreurs

# Qu'est que c'est un code correcteur d'erreur ?

Une méthode pour transmettre et stocker des données.

**Caractéristiques :** détection et correction des erreurs qui peuvent arriver lors de la transmission / le stockage



**BUT :** encoder le plus grand nombre de données et détecter et corriger le plus grand nombre d'erreurs !

Un  $\mathbb{F}_q$ -sous espace vectoriel de  $\mathbb{F}_q^n$  (codes linéaires).

**Trois paramètres :**

- **n**, la longueur
- **k**, la dimension
- **d**, la distance minimale

Taux de transmission:  $k/n$

Détecte jusqu'à  $d - 1$  erreurs

Corrige jusqu'à  $\lfloor \frac{d-1}{2} \rfloor$  erreurs

# Qu'est que c'est un code correcteur d'erreur ?

Une méthode pour transmettre et stocker des données.

**Caractéristiques :** détection et correction des erreurs qui peuvent arriver lors de la transmission / le stockage



**BUT :** encoder le plus grand nombre de données et détecter et corriger le plus grand nombre d'erreurs !

Un  $\mathbb{F}_q$ -sous espace vectoriel de  $\mathbb{F}_q^n$  (codes linéaires).

**Trois paramètres :**

- **n**, la longueur
- **k**, la dimension
- **d**, la distance minimale

Taux de transmission:  $k/n$

Détecte jusqu'à  $d - 1$  erreurs

Corrige jusqu'à  $\lfloor \frac{d-1}{2} \rfloor$  erreurs

**BUT :** avoir **k** et **d** les plus grands possible !



# Qu'est que c'est un code correcteur d'erreur ?

Une méthode pour transmettre et stocker des données.

**Caractéristiques :** détection et correction des erreurs qui peuvent arriver lors de la transmission / le stockage



**BUT :** encoder le plus grand nombre de données et détecter et corriger le plus grand nombre d'erreurs !

Un  $\mathbb{F}_q$ -sous espace vectoriel de  $\mathbb{F}_q^n$  (codes linéaires).

**Trois paramètres :**

- ▶ **n**, la longueur
- ▶ **k**, la dimension
- ▶ **d**, la distance minimale

Taux de transmission:  $k/n$

Détecte jusqu'à  $d - 1$  erreurs

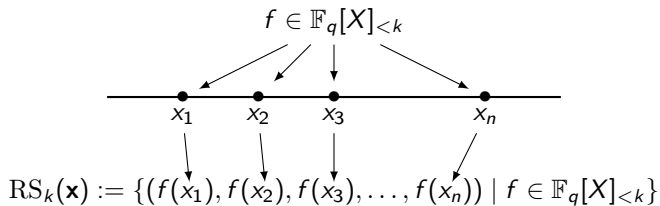
Corrige jusqu'à  $\lfloor \frac{d-1}{2} \rfloor$  erreurs

**BUT :** avoir **k** et **d** les plus grands possible !

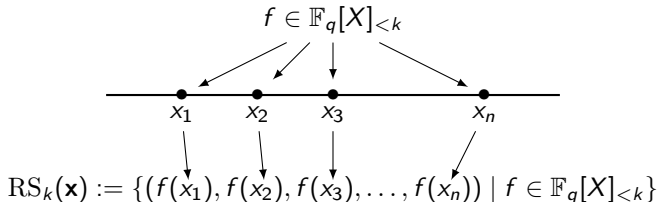
**Borne de Singleton :**  $k + d \leq n + 1$

↪ compromis entre redondance et capacité de correction

## Codes d'évaluation : des codes de Reed–Solomon...

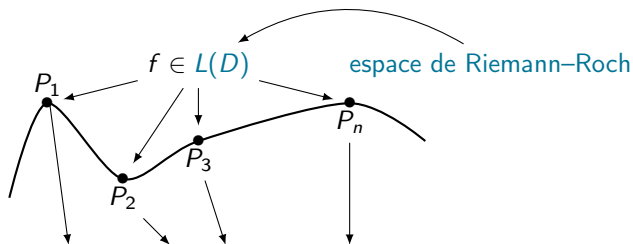


## Codes d'évaluation : des codes de Reed–Solomon...



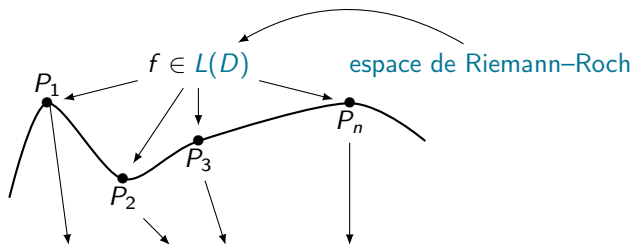
- ✓ Paramètres optimaux :  $k + d = n + 1$  (codes MDS)
- ✓ Algorithme de décodage efficace (Berlekamp, 1968)
- ✓ Operations sur les données
- ⚠ Inconvénient :  $n \leq q$

...aux codes géométriques



$$\mathcal{C}((P_i)_i, D) := \{(f(P_1), f(P_2), f(P_3), \dots, f(P_n)) \mid f \in L(D)\}$$

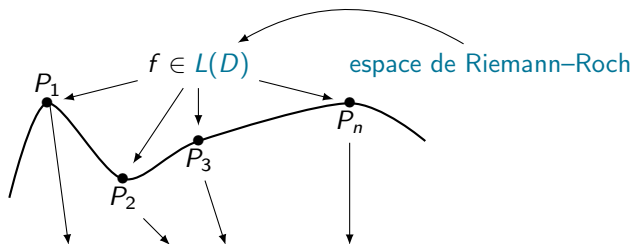
...aux codes géométriques



$$\mathcal{C}((P_i)_i, D) := \{(f(P_1), f(P_2), f(P_3), \dots, f(P_n)) \mid f \in L(D)\}$$

Longueur :  $|\#C(\mathbb{F}_q) - (q + 1)| \leq g \lfloor 2\sqrt{q} \rfloor$

## ...aux codes géométriques



$$\mathcal{C}((P_i)_i, D) := \{(f(P_1), f(P_2), f(P_3), \dots, f(P_n)) \mid f \in L(D)\}$$

Longueur :  $|\#C(\mathbb{F}_q) - (q + 1)| \leq g \lfloor 2\sqrt{q} \rfloor$

### Proposition

Les paramètres  $[n, k, d]$  des codes géométriques satisfont

$$n + 1 - g \leq k + d \leq n + 1.$$

$\rightsquigarrow$  les codes AG sont à distance  $g$  de l'optimalité

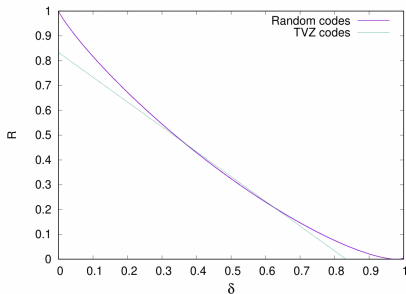
## *Bref histoire des codes géométriques*

*1981:* Goppa introduit les codes AG sur les courbes algébriques

## Bref histoire des codes géométriques

*1981:* Goppa introduit les codes AG sur les courbes algébriques

*1982:* Tsfasman, Vlăduț et Zink utilisent les codes AG pour dépasser la borne de Gilbert–Varshamov

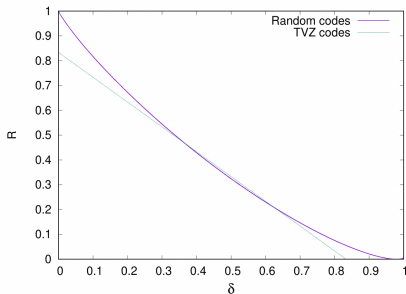




## Bref histoire des codes géométriques

*1981:* Goppa introduit les codes AG sur les courbes algébriques

*1982:* Tsfasman, Vlăduț et Zink utilisent les codes AG pour dépasser la borne de Gilbert–Varshamov



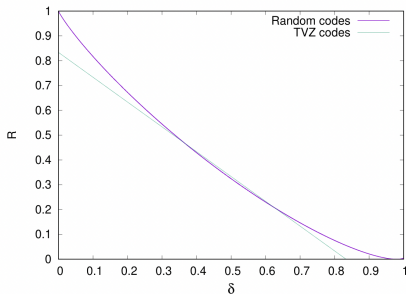
*XXc:* des différentes familles de courbes sont étudiées afin d'obtenir des codes optimaux ou quasi-optimaux

→ seulement les courbes dont les espaces de Riemann–Roch sont déjà connus sont utilisées

## Bref histoire des codes géométriques

*1981:* Goppa introduit les codes AG sur les courbes algébriques

*1982:* Tsfasman, Vlăduț et Zink utilisent les codes AG pour dépasser la borne de Gilbert–Varshamov



*XXc:* des different familles de courbes sont étudiées afin d'obtenir des codes optimaux ou quasi-optimaux

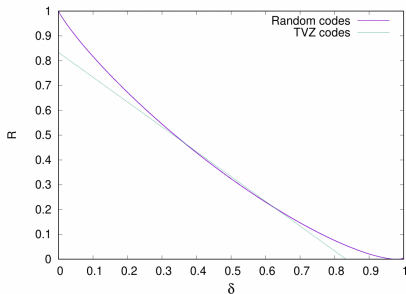
↪ seulement les courbes dont les espaces de Riemann–Roch sont déjà connus sont utilisées

*XXIc:* les codes AG sont utilisés dans des nouvelles applications en théorie de l'information

## Bref histoire des codes géométriques

**1981:** Goppa introduit les codes AG sur les courbes algébriques

**1982:** Tsfasman, Vlăduț et Zink utilisent les codes AG pour dépasser la borne de Gilbert–Varshamov



**XXc:** des different familles de courbes sont étudiées afin d'obtenir des codes optimaux ou quasi-optimaux

↪ seulement les courbes dont les espaces de Riemann–Roch sont déjà connus sont utilisées

**XXIc:** les codes AG sont utilisés dans des nouvelles applications en théorie de l'information ...allons voir comment !

# *Cryptosystème McEliece (1978)*



# Cryptosystème McEliece (1978)



- $G$ , matrice d'un code  $[n, k, 2t + 1]$
- $\mathcal{A}$ , algorithme de décodage
- $S$ , a  $k \times k$  matrice
- $P$ , a  $n \times n$  matrice

Calcule  $\tilde{G} = SG P$

PubKey =  $(\tilde{G}, t)$ , SecKey =  $(G, P, S, \mathcal{A})$

# Cryptosystème McEliece (1978)



- $G$ , matrice d'un code  $[n, k, 2t + 1]$
- $\mathcal{A}$ , algorithme de décodage
- $S$ , a  $k \times k$  matrice
- $P$ , a  $n \times n$  matrice

Calcule  $\bar{G} = SG$

PubKey =  $(\bar{G}, t)$ , SecKey =  $(G, P, S, \mathcal{A})$

- Divise son message en vecteurs  $m_i$  de longueur  $k$
- Construit un vecteur  $e$  de longueur  $n$  et poids  $t$

# Cryptosystème McEliece (1978)



- $G$ , matrice d'un code  $[n, k, 2t + 1]$
- $\mathcal{A}$ , algorithme de décodage
- $S$ , a  $k \times k$  matrice
- $P$ , a  $n \times n$  matrice

Calcule  $\bar{G} = SG$

PubKey =  $(\bar{G}, t)$ , SecKey =  $(G, P, S, \mathcal{A})$

- Divise son message en vecteurs  $m_i$  de longueur  $k$
- Construit un vecteur  $e$  de longueur  $n$  et poids  $t$

Calcule  
 $y_i = m_i \bar{G} + e$

# Cryptosystème McEliece (1978)



- $G$ , matrice d'un code  $[n, k, 2t + 1]$
- $\mathcal{A}$ , algorithme de décodage
- $S$ , a  $k \times k$  matrice
- $P$ , a  $n \times n$  matrice

- Divise son message en vecteurs  $m_i$  de longueur  $k$
- Construit un vecteur  $e$  de longueur  $n$  et poids  $t$

Calcule  $\bar{G} = SG$

PubKey =  $(\bar{G}, t)$ , SecKey =  $(G, P, S, \mathcal{A})$

Reçoit  $y_i$



Calcule  
 $y_i = m_i \bar{G} + e$



# Cryptosystème McEliece (1978)



- $G$ , matrice d'un code  $[n, k, 2t + 1]$
- $\mathcal{A}$ , algorithme de décodage
- $S$ , a  $k \times k$  matrice
- $P$ , a  $n \times n$  matrice

- Divise son message en vecteurs  $m_i$  de longueur  $k$
- Construit un vecteur  $e$  de longueur  $n$  et poids  $t$

Calcule  $\bar{G} = SG$

PubKey =  $(\bar{G}, t)$ , SecKey =  $(G, P, S, \mathcal{A})$

Reçoit  $y_i$



Calcule  
 $y_i = m_i \bar{G} + e$

Calcule  $y_i P^{-1} = (m_i \bar{G} + e) P^{-1}$   
 $= m_i SG + e P^{-1} = m_i SG + e'$

Utilise  $\mathcal{A}$  pour retrouver  $m_i SG$

$$m_i = m_i SG \times G^{-1} S^{-1}$$

# Cryptosystème McEliece (1978)



- $G$ , matrice d'un code  $[n, k, 2t + 1]$
- $\mathcal{A}$ , algorithme de décodage
- $S$ , a  $k \times k$  matrice
- $P$ , a  $n \times n$  matrice

- Divise son message en vecteurs  $m_i$  de longueur  $k$
- Construit un vecteur  $e$  de longueur  $n$  et poids  $t$

Calcule  $\bar{G} = SG$

PubKey =  $(\bar{G}, t)$ , SecKey =  $(G, P, S, \mathcal{A})$

Reçoit  $y_i$



Calcule  
 $y_i = m_i \bar{G} + e$

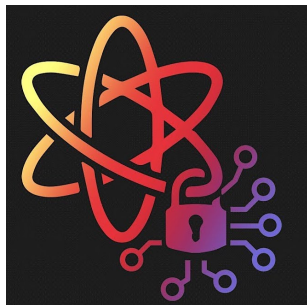
Calcule  $y_i P^{-1} = (m_i \bar{G} + e) P^{-1}$   
 $= m_i SG + e P^{-1} = m_i SG + e'$

Utilise  $\mathcal{A}$  pour retrouver  $m_i SG$

$$m_i = m_i SG \times G^{-1} S^{-1}$$

# *Le cryptosystème McEliece pour la crypto post-quantique*

- ▶ la sécurité se base sur la
  - difficulté calculatoire du décodage d'un code aléatoire
  - difficulté calculatoire de distinguer un code structuré d'un code aléatoire
- ✓ Post-quantum
- ⚠ Nécessite des clés de grande taille



- ⚠ Les codes AG classiques ne sont pas sûrs pour ce cryptosystème
- ✓ Les sous-codes de codes AG sur un sous-corps sont prometteurs !

# Calcul Vérifiable



**Prouver Puissant**  
(e.g. un serveur)

Tournez le programme  $F$   
sur l'entrée  $x$  pour moi

Je veux vérifier  $vite$  si  
votre résultat est correct



**Faible Vérifieur**  
(e.g. un client)

# Calcul Vérifiable



**Prouver Puissant**  
(e.g. un serveur)

retourne le résultat  $y$  et  
une preuve de correction  $\pi$

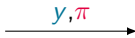
Tournez le programme  $F$   
sur l'entrée  $x$  pour moi

Je veux vérifier vite si  
votre résultat est correct



**Faible Vérifieur**  
(e.g. un client)

vérifie la validité de  $\pi$   
pour l'énoncé  $y = F(x)$

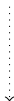


# Calcul Vérifiable



**Prouver Puissant**  
(e.g. un serveur)

retourne le résultat  $y$  et  
une preuve de correction  $\pi$



Proximité à un code  $C$

Tournez le programme  $F$   
sur l'entrée  $x$  pour moi

Je veux vérifier vite si  
votre résultat est correct



**Faible Vérifieur**  
(e.g. un client)

vérifie la validité de  $\pi$   
pour l'énoncé  $y = F(x)$

Le Prouver renvoie un mot

- $c \in C$ , si l'énoncé  $y = F(x)$  est vrai,
- $\tilde{c}$  très loin de  $C$ , autrement.

# Calcul Vérifiable



**Prouver Puissant**  
(e.g. un serveur)

retourne le résultat  $y$  et  
une preuve de correction  $\pi$

Proximité à un code  $C$

Tournez le programme  $F$   
sur l'entrée  $x$  pour moi

Je veux vérifier vite si  
votre résultat est correct



**Faible Vérifieur**  
(e.g. un client)

vérifie la validité de  $\pi$   
pour l'énoncé  $y = F(x)$

Le Prouver renvoie un mot

- $c \in C$ , si l'énoncé  $y = F(x)$  est vrai,
- $\tilde{c}$  très loin de  $C$ , autrement.

**Applications :** cryptomonnaies, blockchain...

# Calcul Vérifiable



**Prouver Puissant**  
(e.g. un serveur)

retourne le résultat  $y$  et  
une preuve de correction  $\pi$

Proximité à un code  $C$

Tournez le programme  $F$   
sur l'entrée  $x$  pour moi

Je veux vérifier vite si  
votre résultat est correct



**Faible Vérifieur**  
(e.g. un client)

vérifie la validité de  $\pi$   
pour l'énoncé  $y = F(x)$

Le Prouver renvoie un mot

- $c \in C$ , si l'énoncé  $y = F(x)$  est vrai,
- $\tilde{c}$  très loin de  $C$ , autrement.

**Applications :** cryptomonnaies, blockchain...

Quels codes peuvent être utilisés ? Les codes AG semblent être une bonne option<sup>1</sup>

<sup>1</sup>S. Bordage et J. Nardi, preprint, 2020



# *Espaces de Riemann–Roch : les codes AG et au-delà*

Construction explicites de codes AG pour

- ▶ Cryptosystème de McEliece
- ▶ Calcul Vérifiable
- ▶ Autres applications (partage de secret, stockage distribué...)

↪ besoin de calculer les espaces de Riemann–Roch de courbes

# Espaces de Riemann–Roch : les codes AG et au-delà

Construction explicites de codes AG pour

- ▶ Cryptosystème de McEliece
- ▶ Calcul Vérifiable
- ▶ Autres applications (partage de secret, stockage distribué...)

↪ besoin de calculer les espaces de Riemann–Roch de courbes

Cela est utile aussi pour...

- ▶ Operations arithmétiques sur les Jacobiennes de courbes<sup>2</sup>
- ▶ Integration symbolique<sup>3</sup>

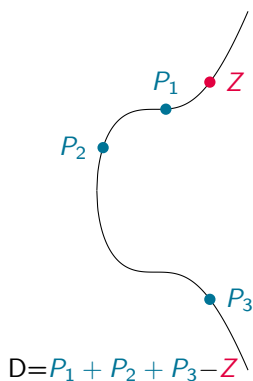
---

<sup>2</sup>K. Khuri-Makdisi, Mathematics of Computations, 2007

<sup>3</sup>J.H. Davenport, Intern. Symp. on Symbolic et Algebraic Manipulation, 1979

# Espaces de Riemann–Roch

Diviseurs sur une courbe  $\mathcal{C}$ :  $D = \sum_{P \in \mathcal{C}} n_P P$



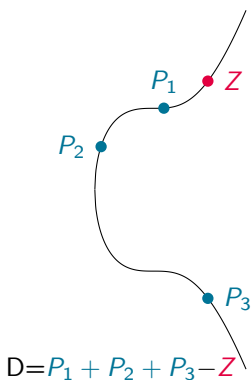
L'**espace de Riemann–Roch**  $L(D)$  est l'espace de toutes les fonctions de la forme  $\frac{G}{H} \in \mathbb{K}(\mathcal{C})$  telles que :

- ▶ si  $n_P < 0$  alors  $P$  **doit être un zéro** de  $G$  (de multiplicité  $\geq -n_P$ )
- ▶ si  $n_P > 0$  alors  $P$  **peut être un zéro** of  $H$  (de multiplicité  $\leq n_P$ )
- ▶  $G/H$  n'a pas **d'autres pôles** en dehors des points  $P$  avec  $n_P > 0$

Ici :  $Z$  doit être un zéro de  $G$ , les  $P_i$  peuvent être des zéros de  $H$

# Espaces de Riemann–Roch

Diviseurs sur une courbe  $\mathcal{C}$ :  $D = \sum_{P \in \mathcal{C}} n_P P$



L'espace de Riemann–Roch  $L(D)$  est l'espace de toutes les fonctions de la forme  $\frac{G}{H} \in \mathbb{K}(\mathcal{C})$  telles que :

- ▶ si  $n_P < 0$  alors  $P$  doit être un zéro de  $G$  (de multiplicité  $\geq -n_P$ )
- ▶ si  $n_P > 0$  alors  $P$  peut être un zéro of  $H$  (de multiplicité  $\leq n_P$ )
- ▶  $G/H$  n'a pas d'autres pôles en dehors des points  $P$  avec  $n_P > 0$

Ici :  $Z$  doit être un zéro de  $G$ , les  $P_i$  peuvent être des zéros de  $H$

**Théorème de Riemann–Roch**  $\rightsquigarrow$  dimension de  $L(D) = \deg D + 1 - g$   
où le degré d'un diviseur est  $\deg D = \sum_P n_P$

## Exemple jouet

Soit  $\mathcal{C} = \mathbb{P}^1$ ,  $P = [0 : 1]$  et  $Q = [1 : 1]$ . Soit  $D = P - Q$ , alors

$$f \in L(D) \iff \begin{cases} f \text{ a un zéro d'ordre au moins 1 en } Q \\ f \text{ peut avoir un pôle d'ordre au plus 1 en } P \\ f \text{ n'a pas d'autres pôles en dehors de } P \end{cases}$$

## Exemple jouet

Soit  $\mathcal{C} = \mathbb{P}^1$ ,  $P = [0 : 1]$  et  $Q = [1 : 1]$ . Soit  $D = P - Q$ , alors

$$f \in L(D) \iff \begin{cases} f \text{ a un zéro d'ordre au moins 1 en } Q \\ f \text{ peut avoir un pôle d'ordre au plus 1 en } P \\ f \text{ n'a pas d'autres pôles en dehors de } P \end{cases}$$

$$f = \frac{X-1}{X} \text{ est une solution}$$

$$g = 0, \deg D = 0 \xrightarrow[\text{Riemann-Roch}]{\text{Théorème de}} \dim L(D) = \deg D + 1 - g = 1$$

$\rightarrow f$  engendre l'espace des solutions

## Exemple jouet

Soit  $\mathcal{C} = \mathbb{P}^1$ ,  $P = [0 : 1]$  et  $Q = [1 : 1]$ . Soit  $D = P - Q$ , alors

$$f \in L(D) \iff \begin{cases} f \text{ a un zéro d'ordre au moins 1 en } Q \\ f \text{ peut avoir un pôle d'ordre au plus 1 en } P \\ f \text{ n'a pas d'autres pôles en dehors de } P \end{cases}$$

$$f = \frac{X-1}{X} \text{ est une solution}$$

$$g = 0, \deg D = 0 \xrightarrow[\text{Riemann-Roch}]{\text{Théorème de}} \dim L(D) = \deg D + 1 - g = 1$$

$\rightarrow f$  engendre l'espace des solutions

⚠ on n'a pas une méthode explicite pour calculer une base de  $L(D)$   
Comment résoudre le problème **en général**?

# *Problème de Riemann–Roch : état de l'art*

## **Méthode géométrique :**

(Théorie de Brill–Noether  $\sim 1874$ )

- Goppa, Le Brigand–Risler (80's)
- Huang–Ierardi (90's)
- Khuri–Makdisi (2007)
- Le Gluher–Spaenlehauer (2018)
- Abelard–Couvreur–Lecerf (2020)

## **Méthode arithmétique :**

(Idéaux dans de corps de fonctions)

- Hensel–Landberg (1902)
- Coates (1970)
- Davenport (1981)
- Hess (2001)



# Problème de Riemann–Roch : état de l'art

## Méthode géométrique :

(Théorie de Brill–Noether  $\sim 1874$ )

- Goppa, Le Brigand–Risler (80's)
- Huang–Ierardi (90's)
- Khuri-Makdisi (2007)
- Le Gluher–Spaenlehauer (2018)
- Abelard–Couvreur–Lecerf (2020)

## Méthode arithmétique :

(Idéaux dans de corps de fonctions)

- Hensel–Landberg (1902)
- Coates (1970)
- Davenport (1981)
- Hess (2001)

Courbes

ordinaires/nodales :

Courbes

non-ordinaire :

Algorithme Las Vegas qui calcule  $L(D)$  en

$\tilde{O}((\delta^2 + \deg D)^{\frac{\omega+1}{2}})$  operations<sup>4</sup>

⚠ aucun exposant de complexité explicite



---

<sup>4</sup> $2 \leq \omega \leq 3$  est un exposant faisable pour l'algèbre linéaire ( $\omega = 2.373$ )

# Brill–Noether

Méthode Brill–Noether  $\rightsquigarrow$  conditions NS sur  $H$  et  $G$  t.q.  $G/H \in L(D)$

## Brill–Noether

Méthode Brill–Noether  $\rightsquigarrow$  conditions NS sur  $H$  et  $G$  t.q.  $G/H \in L(D)$

Notations :

- ▶  $(H) = \sum_{P \in \mathcal{C}} \text{ord}_P(H)P$  (zéros de  $H$  avec multiplicité)
- ▶  $D \geq D' \rightsquigarrow D - D' = \sum n_P P$  avec  $n_P \geq 0$  pour tout  $P$

# Brill–Noether

Méthode Brill–Noether  $\rightsquigarrow$  conditions NS sur  $H$  et  $G$  t.q.  $G/H \in L(D)$

Notations :

- ▶  $(H) = \sum_{P \in \mathcal{C}} \text{ord}_P(H)P$  (zéros de  $H$  avec multiplicité)
- ▶  $D \geq D' \rightsquigarrow D - D' = \sum n_P P$  avec  $n_P \geq 0$  pour tout  $P$

*Description de  $L(D)$  pour  $\mathcal{C} : F(X, Y, Z) = 0$  courbe plane projective.*

*Les éléments non-nuls sont de la forme  $\frac{G_i}{H}$  où*

- ▶  $H$  satisfait  $(H) \geq D$
- ▶  $H$  passe à travers tout point singulier de  $\mathcal{C}$  avec multiplicité ad hoc
- ▶  $\deg G_i = \deg H$ ,  $G_i$  copremier avec  $F$  et  $(G_i) \geq (H) - D$

# Brill–Noether

Méthode Brill–Noether  $\rightsquigarrow$  conditions NS sur  $H$  et  $G$  t.q.  $G/H \in L(D)$

Notations :

- ▶  $(H) = \sum_{P \in \mathcal{C}} \text{ord}_P(H)P$  (zéros de  $H$  avec multiplicité)
- ▶  $D \geq D' \rightsquigarrow D - D' = \sum n_P P$  avec  $n_P \geq 0$  pour tout  $P$

*Description de  $L(D)$  pour  $\mathcal{C} : F(X, Y, Z) = 0$  courbe plane projective.*

Les éléments non-nuls sont de la forme  $\frac{G_i}{H}$  où

- ▶  $H$  satisfait  $(H) \geq D$
- ▶  $H$  passe à travers tout point singulier de  $\mathcal{C}$  avec multiplicité ad hoc
- ▶  $\deg G_i = \deg H$ ,  $G_i$  copremier avec  $F$  et  $(G_i) \geq (H) - D$

Comment gérer les points singuliers ?

# Brill-Noether

Méthode Brill-Noether  $\rightsquigarrow$  conditions NS sur  $H$  et  $G$  t.q.  $G/H \in L(D)$

Notations :

- ▶  $(H) = \sum_{P \in \mathcal{C}} \text{ord}_P(H)P$  (zéros de  $H$  avec multiplicité)
- ▶  $D \geq D' \rightsquigarrow D - D' = \sum n_P P$  avec  $n_P \geq 0$  pour tout  $P$

*Description de  $L(D)$  pour  $\mathcal{C} : F(X, Y, Z) = 0$  courbe plane projective.*

*Les éléments non-nuls sont de la forme  $\frac{G_i}{H}$  où*

- ▶  $H$  satisfait  $(H) \geq D$
- ▶  $H$  satisfait  $(H) \geq \mathcal{A}$  (on dira que " $H$  est adjoint à la courbe")
- ▶  $\deg G_i = \deg H$ ,  $G_i$  copremier avec  $F$  et  $(G_i) \geq (H) - D$

Comment gérer les points singuliers ?

$\rightsquigarrow$  le diviseur d'adjonction  $\mathcal{A}$  "contient" les points singuliers de  $\mathcal{C}$  avec leurs multiplicités

# Brill-Noether

Méthode Brill-Noether  $\rightsquigarrow$  conditions NS sur  $H$  et  $G$  t.q.  $G/H \in L(D)$

Notations :

- ▶  $(H) = \sum_{P \in \mathcal{C}} \text{ord}_P(H)P$  (zéros de  $H$  avec multiplicité)
- ▶  $D \geq D' \rightsquigarrow D - D' = \sum n_P P$  avec  $n_P \geq 0$  pour tout  $P$

*Description de  $L(D)$  pour  $\mathcal{C} : F(X, Y, Z) = 0$  courbe plane projective.*

*Les éléments non-nuls sont de la forme  $\frac{G_i}{H}$  où*

- ▶  $H$  satisfait  $(H) \geq D$
- ▶  $H$  satisfait  $(H) \geq \mathcal{A}$
- ▶  $\deg G_i = \deg H$ ,  $G_i$  copremier avec  $F$  et  $(G_i) \geq (H) - D$

Comment gérer les points singuliers ?

$\rightsquigarrow$  le diviseur d'adjonction  $\mathcal{A}$  "contient" les points singuliers de  $\mathcal{C}$  avec leurs multiplicités

Comment gérer les diviseurs?

# Brill-Noether

Méthode Brill-Noether  $\rightsquigarrow$  conditions NS sur  $H$  et  $G$  t.q.  $G/H \in L(D)$

Notations :

- ▶  $(H) = \sum_{P \in \mathcal{C}} \text{ord}_P(H)P$  (zéros de  $H$  avec multiplicité)
- ▶  $D \geq D' \rightsquigarrow D - D' = \sum n_P P$  avec  $n_P \geq 0$  pour tout  $P$

*Description de  $L(D)$  pour  $\mathcal{C} : F(X, Y, Z) = 0$  courbe plane projective.*

*Les éléments non-nuls sont de la forme  $\frac{G_i}{H}$  où*

- ▶  $H$  satisfait  $(H) \geq D$
- ▶  $H$  satisfait  $(H) \geq \mathcal{A}$
- ▶  $\deg G_i = \deg H$ ,  $G_i$  copremier avec  $F$  et  $(G_i) \geq (H) - D$

Comment gérer les points singuliers ?

$\rightsquigarrow$  le diviseur d'adjonction  $\mathcal{A}$  "contient" les points singuliers de  $\mathcal{C}$  avec leurs multiplicités

Comment gérer les diviseurs?

expansions en séries de  
representations multi-set  $((P_i)_i, m_i)$

$\rightsquigarrow$

opérations sur les diviseurs  
ont coût négligeable



## Sketch de l'algorithme

### Input

$C : F(X, Y, Z) = 0$  une courbe plane projective,  $D$  un diviseur lisse.

**Étape 1 :** Calcule le diviseur d'adjonction  $\mathcal{A}$

**Étape 2 :** Calcule le dénominateur commun  $H$

**Étape 3 :** Calcule  $(H) - D$

**Étape 4 :** Calcule des numérateurs  $G_i$  (proche de l'étape 2)

### Output

Une base de l'espace de Riemann–Roch  $L(D)$  en termes de  $H$  et des  $G_i$ .

## Sketch de l'algorithme

### Input

$\mathcal{C} : F(X, Y, Z) = 0$  une courbe plane projective,  $D$  un diviseur lisse.

**Étape 1 :** Calcule le diviseur d'adjonction  $\mathcal{A}$

**Étape 2 :** Calcule le dénominateur commun  $H$

**Étape 3 :** Calcule  $(H) - D \checkmark \leftarrow \tilde{O}((\delta^2 + \deg D)^2)$

**Étape 4 :** Calcule des numérateurs  $G_i$  (proche de l'étape 2)

### Output

Une base de l'espace de Riemann–Roch  $L(D)$  en termes de  $H$  et des  $G_i$ .

# Sketch de l'algorithme

## Input

$\mathcal{C} : F(X, Y, Z) = 0$  une courbe plane projective,  $D$  un diviseur lisse.

**Étape 1 :** Calcul le diviseur d'adjonction  $\mathcal{A}$

**Étape 2 :** Calcule le dénominateur commun  $H$

**Étape 3 :** Calcule  $(H) - D \checkmark \leftarrow \tilde{O}((\delta^2 + \deg D)^2)$

**Étape 4 :** Calcule des numérateurs  $G_i$  (proche de l'étape 2)

## Output

Une base de l'espace de Riemann–Roch  $L(D)$  en termes de  $H$  et des  $G_i$ .

## *La condition d'adjonction via les séries de Puiseux*

Soit  $F \in \mathbb{K}[x, y]$  absolument irréductible, monic en  $y$  et de degré  $d$  en  $y$ .  
Les racines de  $F \in \mathbb{K}((x))[y]$  en  $\cup_{e \geq 1} \overline{\mathbb{K}}((x^{1/e}))$  sont ses séries de Puiseux  $\varphi_0, \dots, \varphi_{d-1}$ , et  $F$  s'écrit

$$F = \prod_{i=1}^{d-1} (y - \varphi_i) = \prod_{i=1}^{d-1} (y - \sum_{j=0}^{\infty} \beta_{i,j} x^{j/e_i}).$$

**Exemple :**  $F = y^2 - x^3 \rightsquigarrow F = (y - x^{3/2})(y + x^{3/2})$

## La condition d'adjonction via les séries de Puiseux

Soit  $F \in \mathbb{K}[x, y]$  absolument irréductible, monic en  $y$  et de degré  $d$  en  $y$ .  
Les racines de  $F \in \mathbb{K}((x))[y]$  en  $\cup_{e \geq 1} \overline{\mathbb{K}}((x^{1/e}))$  sont ses séries de Puiseux  $\varphi_0, \dots, \varphi_{d-1}$ , et  $F$  s'écrit

$$F = \prod_{i=1}^{d-1} (y - \varphi_i) = \prod_{i=1}^{d-1} (y - \sum_{j=n}^{\infty} \beta_{i,j} x^{j/e_i}).$$

**Exemple :**  $F = y^2 - x^3 \rightsquigarrow F = (y - x^{3/2})(y + x^{3/2})$

On fixe une  $\varphi$  de degré  $e$ . Soit  $\zeta$  une racine primitive  $e$ -ème de l'unité.  
Pour  $0 \leq k < e$  on peut construire autres  $e$  séries de Puiseux en remplaçant  $x^{1/e}$  par  $\zeta^k x^{1/e}$ .

Elles sont toutes équivalentes et représentées par une seule

**Expansion de Puiseux Rationnelle :** un couple  $(X(t), Y(t)) = (\gamma t^e, \sum_{j=n}^{\infty} \beta_j t^j)$

Expansions de Puiseux	$\iff$	places de la courbe
Rationnelles de $F$		$F(x, y) = 0$

**Exemple (continue):**  $\rightsquigarrow (X(t), Y(t)) = (t^2, t^3)$

## *Le diviseur d'adjonction*

Le **diviseur d'adjonction** est

$$\mathcal{A} = \sum_{P \in \text{Sing}(\mathcal{C})} - \sum_{\mathcal{P} | P} \text{val}_{\mathcal{P}} \left( \frac{dx}{F_y} \right) \mathcal{P}$$

$$\xrightarrow[\text{expansions de Puiseux rationnelles}]{\text{En utilisant les}} \text{val}_{\mathcal{P}} \left( \frac{dx}{F_y} \right) = \text{val}_t \left( \frac{et^{e-1}}{F_y(X(t), Y(t), 1)} \right)$$

## Le diviseur d'adjonction

Le **diviseur d'adjonction** est

$$\mathcal{A} = \sum_{P \in \text{Sing}(\mathcal{C})} - \sum_{\mathcal{P} | P} \text{val}_{\mathcal{P}} \left( \frac{dx}{F_y} \right) \mathcal{P}$$

$$\xrightarrow[\text{expansions de Puiseux rationnelles}]{\text{En utilisant les}} \text{val}_{\mathcal{P}} \left( \frac{dx}{F_y} \right) = \text{val}_t \left( \frac{et^{e-1}}{F_y(X(t), Y(t), 1)} \right)$$

### Exemple

On considère  $\mathcal{C} : y^2 - x^3 = 0$ .

L'unique point singulier (non-ordinaire) est  $(0, 0)$ .

$$(X(t), Y(t)) = (t^2, t^3) \rightsquigarrow \text{val}_{\mathcal{P}} \left( \frac{dx}{F_y} \right) = \text{val}_t \left( \frac{2t}{2t^3} \right) = -2$$

**Calcul :** algorithme pour les séries de Puiseux de germes de courbes<sup>5</sup>

$\rightsquigarrow \mathcal{A}$  calculé avec  $\tilde{O}(\delta^3)$  opérations

---

<sup>5</sup>A. Poteaux et M. Weimann, Annales Henri Lebesgue, 2021

## Sketch de l'algorithme

### Input

$C : F(X, Y, Z) = 0$  une courbe plane projective,  $D$  un diviseur lisse.

**Étape 1 :** Calcule le diviseur d'adjonction  $\mathcal{A} \checkmark \leftarrow \tilde{O}(\delta^3)$

**Étape 2 :** Calcule le dénominateur commun  $H$

**Étape 3 :** Calcule  $(H) - D \checkmark \leftarrow \tilde{O}((\delta^2 + \deg D)^2)$

**Étape 4 :** Calcule les numérateurs  $G_i$  (proche de l'étape 2)

### Output

Une base de l'espace de Riemann–Roch  $L(D)$  en termes de  $H$  et des  $G_i$ .



## Sketch de l'algorithme

### Input

$C : F(X, Y, Z) = 0$  une courbe plane projective,  $D$  un diviseur lisse.

**Étape 1 :** Calcule le diviseur d'adjonction  $\mathcal{A} \checkmark \leftarrow \tilde{O}(\delta^3)$

**Étape 2 :** Calcule le dénominateur commun  $H$

**Étape 3 :** Calcule  $(H) - D \checkmark \leftarrow \tilde{O}((\delta^2 + \deg D)^2)$

**Étape 4 :** Calcule les numérateurs  $G_i$  (proche de l'étape 2)

### Output

Une base de l'espace de Riemann–Roch  $L(D)$  en termes de  $H$  et des  $G_i$ .

# Trouver un dénominateur en pratique

*Algèbre linéaire classique*

Soit  $d = \deg H$ .

Condition  $(H) \geq \mathcal{A} + D$

$\rightsquigarrow$  système linéaire avec  $\deg \mathcal{A} + \deg D \sim \delta^2 + \deg D$  équations

$\rightsquigarrow$  l'élimination de Gauss coûte

$\tilde{O}((d\delta + \delta^2 + \deg D)^\omega)$  opérations<sup>6</sup>

---

<sup>6</sup> $2 \leq \omega \leq 3$  est un exposant faisable pour l'algèbre linéaire ( $\omega = 2.373$ )

# Trouver un dénominateur en pratique

Algèbre linéaire classique

Soit  $d = \deg H$ .

Condition  $(H) \geq \mathcal{A} + D$

$\rightsquigarrow$  système linéaire avec  $\deg \mathcal{A} + \deg D \sim \delta^2 + \deg D$  équations

$\rightsquigarrow$  l'élimination de Gauss coûte

$\tilde{O}((d\delta + \delta^2 + \deg D)^\omega)$  opérations<sup>6</sup>

**Quelle taille a  $d$ ?**

On montre que  $d = \left\lceil \frac{(\delta-1)(\delta-2) + \deg D}{\delta} \right\rceil$  est suffisant

$\rightsquigarrow \tilde{O}((\delta^2 + \deg D)^\omega)$  opérations

---

<sup>6</sup> $2 \leq \omega \leq 3$  est un exposant faisable pour l'algèbre linéaire ( $\omega = 2.373$ )

## Deuxième méthode : algèbre linéaire structurée

$$\text{val}_t(H(X(t), Y(t), 1)) \geq \text{val}_t\left(\frac{et^{e-1}}{F_y(X(t), Y(t), 1)}\right)$$

$\rightsquigarrow$  l'espace de polynômes  $H(x, y)$  qui satisfont ces conditions est un  $\mathbb{K}[x]$ -module

$\rightsquigarrow$  calculer une base<sup>7</sup> coûte  $\tilde{O}((\delta^2 + \deg D)^\omega)$  opérations<sup>8</sup>

---

<sup>7</sup>C.-P. Jeannerod, V. Neiger, É. Schost et G. Villard, Journal of Symbolic Computation, 2017

<sup>8</sup> $2 \leq \omega \leq 3$  est un exposant faisable pour l'algèbre linéaire ( $\omega = 2.373$ )

## Deuxième méthode : algèbre linéaire structurée

$$\text{val}_t(H(X(t), Y(t), 1) \geq \text{val}_t \left( \frac{et^{e-1}}{F_y(X(t), Y(t), 1)} \right)$$

↪ l'espace de polynômes  $H(x, y)$  qui satisfont ces conditions est un  $\mathbb{K}[x]$ -module

↪ calculer une base<sup>7</sup> coûte  $\tilde{O}((\delta^2 + \deg D)^\omega)$  opérations<sup>8</sup>

L'exposant de complexité est le même mais...

### Avantages :

- ▶ en général on obtient une base avec une taille de représentation plus petite
- ▶ l'exposant de complexité est meilleur sur des corps algébriquement clos
- ▶ on peut s'attendre à des améliorations dans le futur

---

<sup>7</sup>C.-P. Jeannerod, V. Neiger, É. Schost et G. Villard, Journal of Symbolic Computation, 2017

<sup>8</sup> $2 \leq \omega \leq 3$  est un exposant faisable pour l'algèbre linéaire ( $\omega = 2.373$ )

# Sketch de l'algorithme

## Input

$\mathcal{C} : F(X, Y, Z) = 0$  une courbe plane projective,  $D$  un diviseur lisse.

**Étape 1 :** Calcule le diviseur d'adjonction  $\mathcal{A} \checkmark \leftarrow \tilde{O}(\delta^3)$

**Étape 2 :** Calcule le dénominateur commun  $H \checkmark \leftarrow \tilde{O}((\delta^2 + \deg D)^\omega)$

**Étape 3 :** Calcule  $(H) - D \checkmark \leftarrow \tilde{O}((\delta^2 + \deg D)^2)$

**Étape 4 :** Calcule les numérateurs  $G_i$  (proche de l'étape 2)

## Output

Une base de l'espace de Riemann–Roch  $L(D)$  en termes de  $H$  et des  $G_i$ .

# Sketch de l'algorithme

## Input

$\mathcal{C} : F(X, Y, Z) = 0$  une courbe plane projective,  $D$  un diviseur lisse.

**Étape 1 :** Calcule le diviseur d'adjonction  $\mathcal{A} \checkmark \leftarrow \tilde{O}(\delta^3)$

**Étape 2 :** Calcule le dénominateur commun  $H \checkmark \leftarrow \tilde{O}((\delta^2 + \deg D)^\omega)$

**Étape 3 :** Calcule  $(H) - D \checkmark \leftarrow \tilde{O}((\delta^2 + \deg D)^2)$

**Étape 4 :** Calcule les numérateurs  $G_i \checkmark \leftarrow \tilde{O}((\delta^2 + \deg D)^\omega)$

## Output

Une base de l'espace de Riemann–Roch  $L(D)$  en termes de  $H$  et des  $G_i$ .

*Théorème (Abelard, B., Couvreur, Lecerf)*

Algorithme de type Las Vegas qui calcule  $L(D)$  en  $\tilde{O}((\delta^2 + \deg D)^\omega)$  opérations<sup>9</sup>

<sup>9</sup>avec  $2 \leq \omega \leq 3$  est un exposant faisable pour l'algèbre linéaire ( $\omega = 2.373$ )

# Questions futures

## Calcul d'espaces de Riemann–Roch de courbes.

- ◇ Implementation de l'algorithme (en cours)
- ◇ Calcul d'espaces de Riemann–Roch de courbes non-ordinaires en caractéristique positive “petite” (en cours)
- ◇ Améliorer l'exposant de complexité dans le cas non-ordinaire (sous-quadratique ?)





# Questions futures

## Calcul d'espaces de Riemann–Roch de courbes.

- ◇ Implementation de l'algorithme (en cours)
- ◇ Calcul d'espaces de Riemann–Roch de courbes non-ordinaires en caractéristique positive “petite” (en cours)
- ◇ Améliorer l'exposant de complexité dans le cas non-ordinaire (sous-quadratique ?)



## Codes AG en dimension supérieure.

- ◇ Calcul d'espace de Riemann–Roch de surfaces  
     $\rightsquigarrow$  construction de codes AG sur les surfaces

# Questions futures

## Calcul d'espaces de Riemann–Roch de courbes.

- ◇ Implementation de l'algorithme (en cours)
- ◇ Calcul d'espaces de Riemann–Roch de courbes non-ordinaires en caractéristique positive “petite” (en cours)
- ◇ Améliorer l'exposant de complexité dans le cas non-ordinaire (sous-quadratique ?)



## Codes AG en dimension supérieure.

- ◇ Calcul d'espace de Riemann–Roch de surfaces  
     $\rightsquigarrow$  construction de codes AG sur les surfaces

## Codes en métrique rang.

- ◇ Peut-on utiliser les courbes et leurs espaces de Riemann–Roch pour construire des bons codes en métrique rang ?

# Merci de votre attention !

Des questions?

[elena.berardini@telecom-paris.fr](mailto:elena.berardini@telecom-paris.fr)

